

# بررسی وضعیت عایقی سیم پیچ ژنراتور واحد ۱ نیروگاه مشهد با استفاده از آنالیز جریان‌های پلاریزاسیون و دیپلاریزاسیون (PDCA)

کاظم عابدینی

مشهد، ایران

Kazemabedini91@yahoo.com

یحیی خانعلی زاده

امور تعمیرات برق و کنترل

شرکت مدیریت تولید برق مشهد

مشهد، ایران

Yahya.kht@gmail.com

عباس صفری

اداره CM

نیروگاه حرارتی شازند

اراک، ایران

Abes.safari@yahoo.com

## ۱ - مقدمه

از اولین سال‌های معرفی و ساخت ماشین‌های الکتریکی مبحث شناخت خطاهای ممکن در این تجهیزات و چگونگی برطرف کردن آن‌ها یکی از موضوعات عمده‌ای است که هم‌زمان با توسعه و افزایش کاربرد ماشین‌های الکتریکی توسعه یافته است. با توجه به اینکه هزینه تعمیرات عایق آسیب‌دیده یک ژنراتور نیروگاهی و همچنین هزینه خروج غیر برنامه‌ریزی شده آن‌که باعث توقف تولید می‌شود، بسیار زیاد است باید با نهایت دقت پیش از ایجاد هرگونه آسیب در سیستم عایقی ژنراتور، با شناخت عوامل ایجاد خطا در عایق، شرایط را برای افزایش طول عمر کاری عایق ایجاد کرد. تست غیر مخترب Polarization and Depolarization Current Analysis تکنیک محاسبه و آنالیز جریان‌های پلاریزاسیون و دیپلاریزاسیون در حالت آفلاین نسبت به حوزه زمان مورد بررسی قرار می‌گیرد و هر دو منحنی جریان‌های ذکر شده نسبت به زمان در یک نمودار log-log رسم خواهند شد. از نوع منحنی بدست‌آمده و همچنین میزان تغییرات شیب جریان‌های پلاریزاسیون و دیپلاریزاسیون نسبت به زمان طی چند دوره انجام تست می‌توان نوع تنش ایجاد شده از قبیل حرارتی، الکتریکی و یا مکانیکی و همچنین نوع تخربهای درونی حاصل از جذب رطوبت، آلودگی، تخلیه

چکیده — یکی از روش‌های مؤثر برای تعیین ماهیت کیفی و تشخیص مشخصه‌های درونی عایق به دست آوردن پاسخ دیالکتریک آن مواد و آنالیز داده‌های ارزشمند حاصل از آن در حوزه زمان می‌باشد. با استفاده از این تکنیک، سیستم‌های مدیریت نگهداری و تعمیرات قادر خواهند بود علاوه بر تعیین میزان کیفیت تجهیز، با برنامه‌ریزی‌های تعمیراتی مبتنی بر شرایط تا حد زیادی هزینه‌های ناشی از فعالیت‌های نگهداری و تعمیرات را کاهش و عمر واحد تولید انرژی را افزایش دهند. در این مقاله پس از بررسی رفتار عایقی تحت یک میدان الکتریکی دائم DC روش اندازه‌گیری جریان‌های پلاریزاسیون و دی پلاریزاسیون بررسی می‌شود و در انتها تحلیل نتایج تست ژنراتور واحد ۱ نیروگاه مشهد ارائه خواهد شد.

واژه‌های کلیدی — تخمین عمر؛ مقاومت عایقی؛ تست PDCA  
جریان پلاریزاسیون؛ (جریان دیپلاریزاسیون)

عایق از ملکول های قطبی تشکیل شده باشد این ملکول ها درجهت میدان مرتب می شوند. جدا شدن بارها از هم موجب پدید آمدن بارهای مخالف با بارهای موجود در سطح جوشن، در سطح عایق می گردد. جابه جایی بارهای الکتریکی در عایق که معمولاً با ذخیره انرژی همراه است به صورت جریان الکتریکی با مقادیری بسیار کم از عایق تجهیز عبور می کند که این جریان به وسیله مولتی متر با قابلیت اندازه گیری مقادیر در حد نانو آمپر قابل مشاهده و اندازه گیری است. [۷]

با توجه به [۷] وجود چهار نوع پلاریزاسیون پایه را در مواد به ما نشان

می دهد:

### ۱-۳- پلاریزاسیون الکترونی

یک میدان الکتریکی خارجی همیشه مرکز ثقل بار الکترون ها را نسبت به هسته جابه جا می کند و لذا این گشتاور دوقطبی القاء می نماید. این نوع قطبی شدن را نوری نیز می نامند، زیرا زمان وقوع آن در حد پریود امواج نور و مرئی است.

### ۲-۳- پلاریزاسیون یونی

جابه جایی اتم ها با یون هایی با علامت الکتریکی مخالف که با سرعتی کمتر از حالت قبل صورت می گیرد.

### ۳-۳- پلاریزاسیون جهتی

این نوع پلاریزاسیون براثر تغییر جهت دوقطبی های موجود در عایق و یکسو شدن آن ها در راستای میدان الکتریکی به وجود می آید که به واسطه اصطکاک دوقطبی ها با یکدیگر بسیار کند صورت می پذیرد.

### ۴-۳- پلاریزاسیون Interfacial

جمع شدن بارهای الکتریکی در فصل مشترک دو عایق به دلیل تفاوت در قابلیت هدایت الکتریکی عایق ها منجر به این نوع پلاریزاسیون می شود. این نوع پلاریزاسیون دارای کمترین سرعت است و وضعیت عایق را از لحاظ وجود حفره و ناخالصی به خوبی نشان می دهد. با توجه به موارد ذکر شده جریان پلاریزاسیون در عایق وجود دارد و وضعیت عایق را به خوبی نمایش می دهد. با توجه به [۱] مجموع ۴ جریان یادشده فوق جریان کل عبوری از عایق  $I_A$  را شکل می دهد و از تقسیم ولتاژ اعمالی بر جریان  $I_B$  میزان مقاومت عایقی به دست می آید. این میزان مقاومت با گذر زمان تغییر می کند ولی همان طور که گفته شد پس از گذشت یک دقیقه با حذف کامل جریان  $I_C$

جزئی، تورق، پیر شدن را مشخص و درنهایت وضعیت عایقی را با استفاده از روش های ارائه شده در مستندات بین المللی ارزشیابی کرد.

## ۲- واکنش عایق تحت یک میدان الکتریکی

### دائم

با توجه به [۱] اگر یک نمونه عایق تحت یک میدان الکتریکی خارجی دائم قرار بگیرد چهار نوع جریان از آن عبور خواهد کرد:

### ۱-۱- جریان خازنی $I_C$

جریانی است که براثر شارژ خازن (حاصل از دو الکترود فلزی متصل به منبع و عایق تحت میدان) از مدار عبور می کند، میزان این جریان به صورت نمایی و به سرعت کاهش می یابد و پس از حدود ۱ دقیقه به صفر می رسد.

### ۱-۲- جریان هدایتی $I_G$

جریانی است که براثر عبور الکترون و یا بیون های آزاد بین دو الکترود ایجاد می شود. این جریان در عایق های جدید صفر است (به غیر از مواردی که مرتبط باشد) در حالی که این جریان زیاد باشد یا به عبارتی میزان مقاومت عایقی پایین باشد به احتمال زیاد در عایق خطایی رخداده است. میزان  $I_G$  ثابت است و با افزایش دما و رطوبت افزایش می یابد.

### ۲-۳- جریان پراکندگی سطحی $I_L$

این نوع جریان بر روی سطح عایق برقرار می شود مقدار آن ثابت و تابع دما، رطوبت و آلودگی سطحی است.

### ۲-۴- جریان پلاریزاسیون $I_p$

جریانی است که براثر پلاریزاسیون مولکول های عایق تحت یک میدان الکتریکی خارجی ایجاد می شود که جریان جذب، پلاریزاسیون یا شارژ نامیده می شود.

## ۳- پدیده پلاریزاسیون در عایق

وقتی قطعه ای از عایق تحت یک میدان الکتریکی قرار بگیرد هر جزئی از آن تحت تأثیر میدان پلاریزه می شود، به عبارت دیگر بارهای مثبت و منفی از هم جدا می شوند و باعث ایجاد گشتاور دوقطبی می گردند. در صورتی که

## ۴- رابطه جریان پلاریزاسیون نسبت به تغییرات شبیب

با توجه به [۳] نمودار تغییرات جریان پلاریزاسیون بر حسب حوزه زمان نه نمایی است و نه توانی کامل، ولی در بیشتر متون و مراجع برای تعیین نمودار جریان پلاریزاسیون از رابطه زیر استفاده می شود:

$$I_{POL} = K \cdot t^n \quad (1)$$

که در نمودار log-log،  $n$  شبیب منحنی و  $k$  ثابتی است که به نوع و ابعاد عایق بستگی دارد. نکته حائز اهمیت این است که با افزایش ولتاژ مقدار کمی به جریان پلاریزاسیون افزوده می شود، ولی شبیب جریان پلاریزاسیون تغییری ندارد به این ترتیب نتیجه تست از ولتاژ اعمالی مستقل است. پس از اشاره به اثر تغییر ولتاژ در شبیب و جریان پلاریزاسیون می توان به اثر استرس ترمولکتریکی روی جریان پلاریزاسیون و شبیب مربوطه پرداخت. مقادیر ثابت تابع پاسخ دی الکتریک ( $A$  و  $n$ ) در ابتدای ایجاد استرس کاهش یافته و دوباره شروع افزایش می کند. [۳] از این رو  $A$  و  $n$  می تواند مقادیر بسیار حساس در تحلیل پروسه پیری عایق محاسب شوند. شبیب منحنی جریان پلاریزاسیون برای یک عایق سالم حدود ۰/۸۷ است. با توجه به مطلب گفته شده می توان به این نتیجه رسید که تغییرات شبیب منحنی جریان های پلاریزاسیون و دیپلاریزاسیون می تواند معیار مناسبی جهت تشخیص وضعیت عایقی ژنراتورهای نیروگاهی باشد.

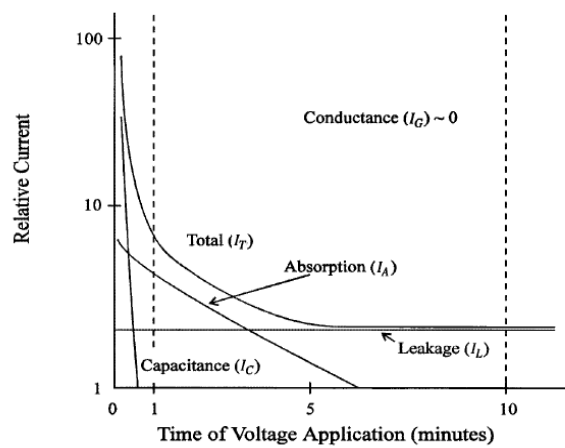
جدول ۱: مقدار ثابت و شبیب ارائه شده برای جریان پلاریزاسیون یک نمونه عایق در ولتاژهای مختلف [۳]

ولتاژ شارژ	میدان الکتریکی (KV/mm)	$A \times 10^{-3}$	$n$
۰ / ۲	۰ / ۱۱	۳۱	۰ / ۸۶
۱	۰ / ۵۰	۳۳	۰ / ۸۶
۲	۱ / ۱۱	۳۳	۰ / ۸۵
۴	۲ / ۲۲	۳۱	۰ / ۸۷
۵	۲ / ۷۷۵	۳۲	۰ / ۸۶

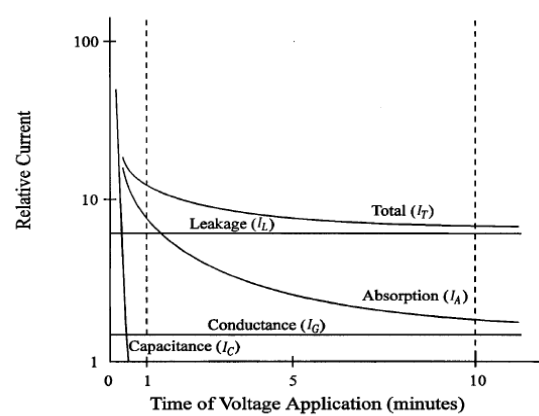
جدول ۲: تغییرات شبیب و ضریب ثابی جریان پلاریزاسیون با عمر عایق [۳]

عمر عایق	$A \times 10^{-3}$	$n$
.	۳۱	۰ / ۸۳
۱۵۰۰	۸	۰ / ۷۸

مقدار مقاومت، تنها از جریان  $I_G$  و  $I_L$  و  $I_P$  به دست می آید که به صورت توانی افزایش می یابد. اگر میزان  $I_G$  و  $I_L$  به دلایلی نظیر آلودگی و رطوبت بسیار بزرگ باشد تغییرات  $I_t$  در مدت زمان کوتاهی به ثباتی نزدیک به مقدار  $I_G + I_L$  خواهد رسید. اگر عایق خشک و تمیز باشد  $I_t$  در طولانی مدت از تغییرات  $I_P$  پیروی می کند و مقدار آنها را نیز می توان برابر فرض نمود. در یک عایق خوب و سالم که خشک و تمیز باشد شکل جریان عبوری از عایق تحت یک ولتاژ DC با شکل جریان پلاریزاسیون برابر می کند. «شکل ۱» این موضوع را نشان می دهد؛ اما در صورتی که عایق مرطوب و یا کثیف باشد به دلیل افزایش جریان های پراکنده ای و هدایتی موجود در عایق شبیب تغییرات جریان کل کاهش یافته است و دیگر شباهتی با منحنی جریان پلاریزاسیون نخواهد داشت. «شکل ۲» این موضوع را نشان می دهد.



شکل ۱: انواع جریان عایق آسفالت میکا در حالت خشک و تمیز



شکل ۲: انواع جریان عایق اپوکسی میکا در حالت آلوده و مرطوب



شکل ۳: شکل کلی از مدار و تجهیزات تست PDCA

با توجه به مرجع [۳] و [۴] در این تست هر فاز مدت زمان ۱۰۰۰ ثانیه تحت ولتاژ ۵ کیلوولت قرار می گیرد که مجموعاً از لحظه اعمال ولتاژ تست و ثبت نتایج تا انتهای مراحل انجام تست با محاسبه کلیه زمان های تأخیر و دیپلاریزاسیون (۵۰۰ ثانیه)، آزمایش هر فاز ۱۵۰۸ ثانیه به طول می انجامد، اطلاعات مربوط به جریان هر فاز در قالب یک فایل در فرمت CSV ذخیره شده و برای تحلیل و تفسیر نهایی مورد استفاده قرار می گیرد.

## ۶- تحلیل نتایج تست PDCA

تحلیل و بررسی نتایج اندازه گیری شده ژنراتور واحد نیروگاه مشهد با استفاده از چهار معیار انجام شده است که این چهار معیار در ذیل توضیح داده می شود.

### ۶-۱- معیار اول

مطابق «جدول ۱» شیب ارائه شده مجاز برای عایق سالم تحت ولتاژ های مختلف باید در حدود ۰/۸۷ باشد (این شیب معادل تاثر انتزاعی مثبت قائم الزاویه ای است که وتر آن روی منحنی جریان پلاریزاسیون قرار دارد و قاعده آن موازی محور زمان و ارتفاع آن هم به موازات محور جریان می باشد) لازم به ذکر است شیب آن قسمتی از منحنی جریان پلاریزاسیون در نظر گرفته می شود که اثرات جریان های گذرا خشی شده باشد، در منحنی های «شکل ۳» الی «شکل ۹» نمونه ۶۰ ثانیه (عدد ۱/۷ روی محور زمان) برای این منظور در هر سه فاز در نظر گرفته شده است، درنهایت معیار اول میزان نزدیک بودن شیب کاوهشی جریان پلاریزاسیون سه فاز در محور لگاریتمی نسبت به مقدار مبنی تعریف می شود.[۳]

### ۶-۲- معیار دوم

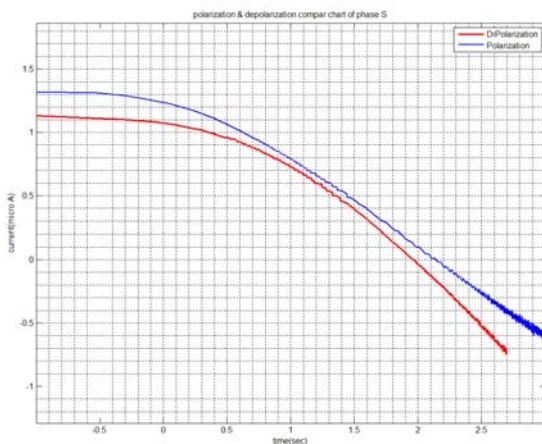
عمر عایق	$A \times 10^3$	n
۳۰۰	۸	۰/۸۱
۴۵۰۰	۱۱	۰/۸۳
۵۳۰۰	۱۷	۰/۹۴
۶۵۰۰	۲۲	۰/۹۱
۷۰۰۰	۲۳	۱/۰۱

جدول ۳: اثر دما در شبیب و ضریب جریان پلاریزاسیون [۳]

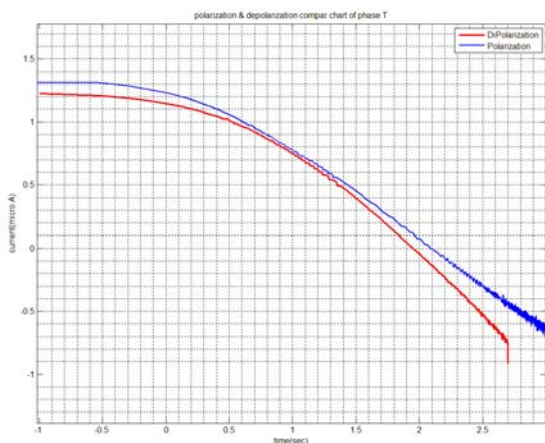
دما	$A \times 10^3$	n
۲۵	۲۳	۰/۸۳
۵۰	۵۰	۰/۷۸
۷۰	۸۵	۰/۷۴
۹۰	۱۵۴	۰/۷۲

## ۵- انجام تست PDCA

تست آنالیز جریان های پلاریزاسیون و دیپلاریزاسیون بر روی سیم پیچ ژنراتور واحد ۱ نیروگاه مشهد در دو مرحله انجام شده است، مرحله اول به ترتیب پیش از انجام تمیز کاری و سرویس عایقی بوده و مرحله دوم پیچ هفته بعد در حالی انجام شد که شین های استاتور هر فاز ژنراتور تحت بازرسی ظاهری قرار گرفت و پروسه تمیز کاری و رسیدگی به وضعیت عایق در آن انجام شد و نتایج حاصل از اندازه گیری جریان های شارژ و دشارژ مورد تحلیل و بررسی قرار گرفته است. تجهیزات موردنیاز برای این تست، دستگاه مگر دارای پله ولتاژ ۵ کیلوولت به عنوان منبع تغذیه، یک مولتی متر با دقت بالا جهت اندازه گیری جریان عایق در حد نانو آمپر، کابل ۱۰ کیلوولت جهت برقراری اتصال مربوطه، یک عدد لپ تاب که از طریق پورت USB به مولتی متر وصل شده و نتایج حاصله را توسط نرم افزار ذخیره می کند، چهار دستگاه کتابکتور و چهار دستگاه تایмер جهت قطع وصل کردن جریان عبوری و همچنین اعمال ولتاژ با پلاریته معین جهت انجام تست که خود شامل چند پله فرمان بازمان بندی قابل تنظیم است و همچنین دما سنج و رطوبت سنج برای تعیین شرایط دمایی محیط تست موردنیاز می باشد.



شکل ۵: فاز S (Before Service)



شکل ۶ فاز T (Before Service)

تست دوم تقریباً ۵ هفته بعد مطابق شرایط تست اول انجام گردید که نمودارهای بهدست آمده از تست دوم را در ذیل مشاهده می کنید.

معیار دوم میزان نزدیک بودن شبکه کاهشی جریان دیپلاریزاسیون سه فاز در محور لگاریتمی به مقدار مبنای تعریف می شود. [۲]

### -۳-۶ معیار سوم

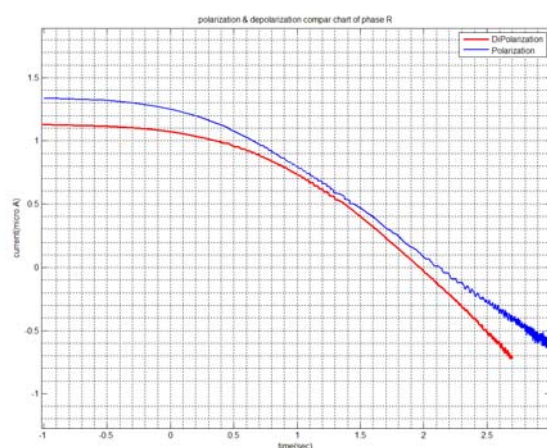
برای یک عایق سالم تحت ولتاژ مستقیم بایستی شبکه کاهشی حاصل از جریان پلاریزاسیون با شبکه کاهشی جریان دیپلاریزاسیون برابر باشد. در غیر این صورت هر چه میزان اختلاف کمتر باشد، عایق از وضعیت مناسب تری برخوردار است، این اختلاف نشانه زوال کیفیت عمر عایق است، که درنهایت معیار سوم اختلاف شبکه کاهشی جریان های پلاریزاسیون و دیپلاریزاسیون هر سه فاز می باشد.

### -۴-۶ معیار چهارم

این معیار میزان نزدیک بودن جریان های شارژ و دشارژ به هم اختصاص داده شده است، با استفاده از این معیار می توان تأثیر جریان های هدايتی و سطحی در عایق که سبب کاهش شبکه کاهشی جریان کل می شود را به دست آورد.

### -۷ نمودار به دست آمده از نتایج تست PDCA هر فاز در حوزه زمان در مقیاس لگاریتمی

نمودارهای به دست آمده، حاصل نتایج اندازه گیری شده جریان های شارژ و دشارژ قبل از دوره اورهال می باشد.

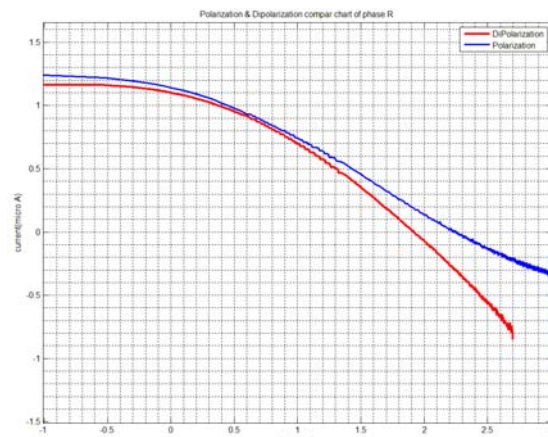


شکل ۴: فاز R (Before Service)

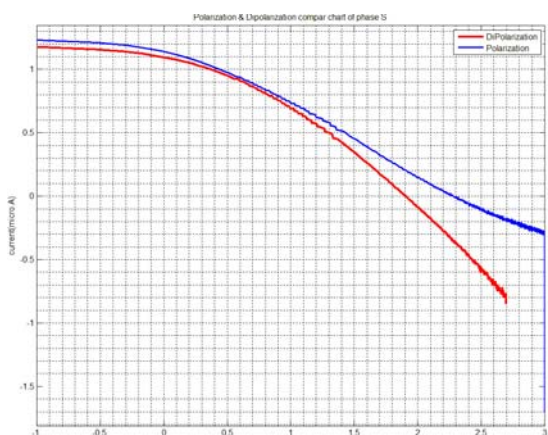
دیپلاریزاسیون نسبت به تست اول کمی افزایش داشته است، در «جدول ۴» نتایج حاصل از شبکهای به دست آمده فازها را مشاهده می کنید.

جدول ۴: نتایج شبکهای به دست آمده از نمودارهای پلاریزاسیون و دیپلاریزاسیون

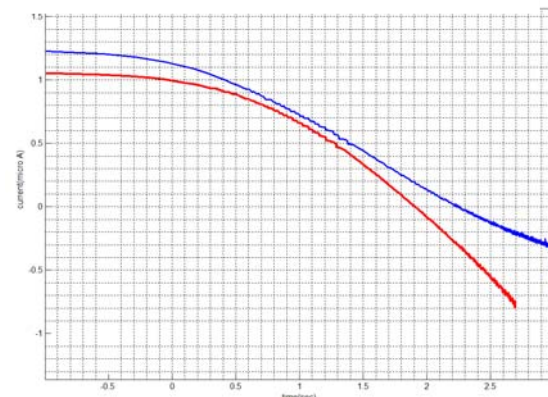
فاز	شبکهای پلاریزاسیون و دیپلاریزاسیون			
	قبل از سرویس		بعد از سرویس	
	پلاریزاسیون	دیپلاریزاسیون	پلاریزاسیون	دیپلاریزاسیون
R	۰/۷۱	۰/۸۳	۰/۶۱	۰/۸۴
S	۰/۷۱	۰/۸۳۴	۰/۶۲	۰/۸۵
T	۰/۷۲۵	۰/۸۳	۰/۶۳	۰/۸۶



شکل ۷ فاز R (After Service)



شکل ۸ فاز S (After Service)



شکل ۹: فاز S (After Service)

همان طور که مشاهده می شود شبکهای پلاریزاسیون بعد از دوره اورهال مقدار قابل توجهی کاهش یافته است، اما شبکهای

فاز	ارزیابی نتایج سیم پیچ فازهای ژنراتور		
	معیار	درصد رضایمندی	متوجه نتایج
Faz A	اول	%70	%78
	دوم	%96	
	سوم	%84	
	چهارم	%62	
S فاز	اول	%71	%78
	دوم	%97	
	سوم	%84	
	چهارم	%60	
T فاز	اول	%72	%79
	دوم	%98	
	سوم	%84	
	چهارم	%62	



شکل ۱۰: آلودگی های قسمت انتهایی سیم پیچ ژنراتور قبل از دوره اورهال

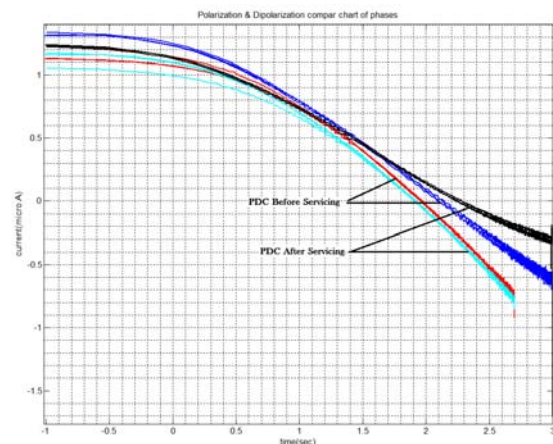
BBC	TURBO-GENERATOR
BROWN BOVERI	
NO.GM 204781	MANUFACTUREE 1976
TYPE WG 19L-080LL5	
OUT PUT=110000KVA	PF=0.8
RATE SPEED=3000RPM	FREQUENCY=50 CPS
VOLTAGE=10500 V /ARMATURE CURRENT=6050A 3	
EXITATION VOLTAGE=225 V FIELD	
CURRENT=1430A	
DIR OF ROTATION ACW FROM DRIVEN END ENERGY	
CONSTANT=1.41KWS/KVA	
STATOR WEIGHT=134.0 t	ROTORCOMPLETE=29.8t

## - نتیجه گیری

تحلیل داده های به دست آمده از تست PDCA طی دو مرحله در توربوزنراتور واحد ۱ نیروگاه مشهد انجام شد، تغییرات نتایج، یا به عبارت دیگر رفتار زمانی مربوط به عایق طی این دو مرحله نتایجی را در برداشت که در ذیل در خصوص وضعیت عایق بیان شده است.

مطابق مرجع [۶] تست مرحله ۲ (After Service) با توجه به افزایش شبیه جریان دشارژ و کم شدن اختلاف بین دو جریان در لحظه اول بیانگر این است که آلودگی بر طرف گردیده که با مشاهدات عینی صورت گرفته آلودگی سطحی در عایق مشاهده نشده است، این موضوع علی رغم وجود آلودگی هایی با مقاومت سطحی بسیار بالا در قسمت انتهایی سیم پیچ نشان دهنده انجام فعالیت تمیز کاری با دقت بالا بوده است.

جهت نمایش بهتر و در ادامه تحلیل شرایط کیفی عایق ژنراتور، مطابق مرجع [۵] نمودار جریان های به دست آمده قبل و بعد از سرویس در شکل ۹ به صورت همزمان نمایش داده شده است.



شکل ۱۱: نمودار کل جریان های شارژ و دشارژ قبل و بعد از سرویس

انجام تست PDCA و تحلیل نمودار جریان های شارژ و دشارژ مطابق معیارهای گفته شده انجام شد و نتایج به دست آمده از تست بعد از فرایند سرویس دوره ای مورد ارزیابی و تحلیل قرار گرفت که متوجه نتایج هر کدام از فازهای ژنراتور در «جدول ۵» آورده شده است.

جدول ۵: نتایج نهایی به دست آمده از تحلیل تست PDCA بعد از سرویس

فاز	ارزیابی نتایج سیم پیچ فازهای ژنراتور		
	معیار	درصد رضایمندی	متوجه نتایج
R فاز			

در «شکل ۹» کاهش قابل توجه شبیه جریان پلاریزاسیون نسبت به نتایج به دست آمده در دوره پیش از اورهال کاملاً مشهود است که با بررسی های به عمل آمده و همچنین با توجه به مراجع [۱] و [۲] و [۵] ژنراتور طی مدت ۵ هفته ای که جهت انجام سرویس دوره ای باز بوده است در مجاورت هوا قرار گرفته که این عامل باعث جذب رطوبت در سطح عایق و افزایش جریان هدایتی گردیده است. با توجه به «فرمول ۱» در مرجع [۱] کاهش شبیه جریان شارژ سبب افزایش جریان پلاریزاسیون می گردد که درنهایت موجب کاهش مقدار مقاومت عایقی می شود.

## ۹- ارائه پیشنهادات

با توجه به طول عمر واحد ۱ نیروگاه مشهد پیشنهاد می شود حد المقدور زمان بندی مربوط به هر یک از تعییرات میان دوره ای یا اساسی به گونه ای تنظیم گردد که زمان بیشتری برای تمیز کاری و خشک کردن عایق استاتور با مواد شوینده مجاز از جمله پرکلرواتین، sk-182 ... با رعایت نکات ایمنی و دقت لازم اختصاص داده شود.

جدول (۶) مشخصات ژنراتور BBC واحد ۱ نیروگاه مشهد

## منابع

- [1] IEEE Recommended Practice for Testing Insulation Resistance of Rotating Machinery, IEEE std. 43-2013
- [2] McKinnon, David L. "Insulation Resistance Profile (IRP) and its use for assessing insulation systems." Electrical Insulation (ISEI), Conference Record of the 2010 IEEE International Symposium on. IEEE, 2010.
- [3] Farahani, Mohsen, Hossein Borsi, and Ernst Gockenbach. "Dielectric response studies on insulating system of high voltage rotating machines." IEEE Transactions on Dielectrics and Electrical Insulation 13.2 (2006): 383-393.
- [4] Aziz, Mohd Azhar Abdul, Mohd Aizam Talib, and Yasmin Hanum Md Thayyob. "Field Experience in Application of Polarisation Depolarisation Current (PDC) In High Voltage (HV) Equipments-A Review."
- [5] Sumereder, C., et al. "Observation of Dielectric Parameters at Generator Stator Windings under Changing Environmental Conditions." Conference Record of the International Symposium on High Voltage Engineering ISH. 2009.
- [6] Jamail, N. A. M., M. A. M. Piah, and N. A. Muhamad. "Comparative Study on Conductivity Using Polarization and Depolarization Current (PDC) Test." Electrical and Electronic Engineering 2.4 (2012): 170-176.
- [7] Pinto, Cajetan. "An improved method of detecting contamination of HV stator windings in the field." Electrical Electronics Insulation Conference, 1991. Boston'91 EEIC/ICWA Exposition., Proceedings of the 20th. IEEE, 1991.